

## ОСОБЕННОСТИ ТЕМПЕРАТУРНЫХ И СПЕКТРАЛЬНЫХ ХАРАКТЕРИСТИК ФОТОПРОВОДИМОСТИ И ФОТОМАГНИТНОГО ЭФФЕКТА В $p\text{-Cd}_x\text{Hg}_{1-x}\text{Te}$ ПРИ НИЗКИХ ТЕМПЕРАТУРАХ

С. Г. Гасан-заде, В. В. Богобоящий, И. П. Жадько, Э. А. Зинченко,  
Г. А. Шепельский

Институт полупроводников Академии наук Украины, 252650, Киев, Украина  
(Получена 8 февраля 1993 г. Принята к печати 13 апреля 1993 г.)

Фотоэлектрические свойства  $\text{Cd}_x\text{Hg}_{1-x}\text{Te}$  ( $x = 0.20, 0.30$ )  $p$ -типа исследованы в низкотемпературном диапазоне, в котором рекомбинационные процессы определяются механизмом Шокли-Рида. Из полевых зависимостей фотомагнитного эффекта определена температурная зависимость подвижности электронов в  $p\text{-Cd}_x\text{Hg}_{1-x}\text{Te}$  в диапазоне 4.2–200 К. Обнаружен захват электронов на уровне прилипания. Особенности спектральных характеристик фотопроводимости при низких температурах ( $T < 30$ –40 К), заключающиеся в исчезновении длинноволнового максимума, объясняются механизмом захвата основных носителей тока — дырок на акцепторный уровень, а в случае инверсионного изгиба зон — процессами пространственного разделения носителей в приповерхностной области кристалла.

Интерес к исследованию фотоэлектрических свойств  $\text{Cd}_x\text{Hg}_{1-x}\text{Te}$   $p$ -типа возрос в последние годы в связи с широким применением монокристаллов и эпитаксиальных слоев с дырочной проводимостью для изготовления фотодиодов ИК диапазона. Поскольку наиболее распространенный способ изготовления фотодиодов на основе  $\text{Cd}_x\text{Hg}_{1-x}\text{Te}$  (КРТ) — создание  $n^+$ -слоя на подложке с дырочной проводимостью, то для характеристик фотодиода важное значение приобретают параметры неравновесных носителей тока в материале  $p$ -типа. Между тем исследования фотоэлектрических свойств в  $p$ -КРТ по числу работ значительно уступают аналогичным исследованиям на материале  $n$ -типа. Прежде всего это относится к диапазону низких температур.

Рекомбинационные процессы в  $p$ -КРТ исследовались в ряде работ [1–6]. Оказалось, что в отличие от материала  $n$ -типа в  $p$ -КРТ наблюдается очень большой разброс экспериментальных данных как в значениях основных параметров неравновесных носителей тока (времени жизни  $\tau$ , диффузионной длины  $L$ , скорости поверхностной рекомбинации  $s$  и др.), так и в определении доминирующего механизма рекомбинации в различных температурных диапазонах. Это объясняется прежде всего меньшим совершенством кристаллов  $p$ -типа, а также большим различием в условиях роста, отжига и легирования кристаллов в обработках при изготовлении образцов, различным состоянием их поверхности. Большая часть экспериментальных результатов сводится к тому, что в  $p\text{-Cd}_x\text{Hg}_{1-x}\text{Te}$  ( $x = 0.20$ – $0.30$ ) в температурном диапазоне  $T < 150$ –200 К доминирующим в рекомбинационных процессах, как правило, оказывается механизм Шокли-Рида. Исходя из этого, большой разброс во временах жизни ( $\tau \approx 1 \cdot 10^{-9}$ – $1 \cdot 10^{-6}$  с) [7] определяется разной концентрацией в кристаллах тех или иных собственных дефектов и примесей. При этом в области низких температур заметную роль могут играть процессы захвата неосновных носителей тока. Подчеркнем, что

низкотемпературному диапазону фотоэлектрических свойств *p*-КРТ посвящено крайне ограниченное число исследований.

В настоящей работе представлены результаты исследований фотоэлектрических свойств  $\text{Cd}_x\text{Hg}_{1-x}\text{Te}$  — фотопроводимости (ФП) и фотомагнитного эффекта (ФМЭ) в *p*-КРТ при низких температурах и, в частности, в области вымораживания свободных дырок на акцепторный уровень. Одновременное измерение стационарной ФП и ФМЭ дает ряд преимуществ, поскольку позволяет независимо определять большее число необходимых параметров неравновесных носителей тока, выявить наличие процессов прилипания. Последнее, как известно, связано с тем, что в монополярном полупроводнике ФМЭ определяется параметрами неосновных носителей.

### Эксперимент

Измерения ФП и ФМЭ проводились по стандартным методикам с модуляцией возбуждающего излучения, источником которого служили либо глобар в диапазоне длин волн  $\lambda = 1-14 \text{ мкм}$ , либо лазер ЛГ-126 ( $\lambda = 3.39 \text{ мкм}$ ). При этом выполнялись условия слабого сигнала  $\Delta p \ll p$  ( $\Delta p$  — концентрация неравновесных дырок). Концентрация и подвижность основных носителей тока (дырок) определялись из холловских измерений, а подвижность электронов — из полевых зависимостей тока  $I_{PME}(H)$ .

Исследуемые образцы *p*-КРТ изготавливались из монокристаллов, полученных методом направленной кристаллизации и отожженных в насыщенных парах ртути при  $400 \text{ }^{\circ}\text{C}$ . Концентрация активных примесей  $N_A - N_D$  определялась по величине коэффициента Холла  $R_H$  при температуре истощения примесей ( $T = 78 \text{ K}$ ) и находилась в пределах  $2 \cdot 10^{15}-2 \cdot 10^{16} \text{ см}^{-3}$ . При этом для определения концентрации свободных дырок значения  $R_H$  измерялись в достаточно сильном поле  $H > 3-5 \text{ кЭ}$ , когда уже отсутствовала полевая зависимость  $R_H$ , и вкладом легких дырок в коэффициент Холла можно пренебречь. Вклад легких дырок в проводимость также несущественный из-за пренебрежимо малой их концентрации благодаря большому отношению эффективных масс тяжелых и легких дырок ( $m_{bh}/m_{lh} \gg 1$ ). Образцы, предварительно полированные химико-механическим способом, протравливались непосредственно перед измерениями в 5% растворе брома в метаноле с последующей промывкой в изобутиловом спирте. У образцов со свежетравленной поверхностью удельное сопротивление при понижении температуры достигает больших значений. В отдельных случаях на поверхность образца наносился анодный окисел (АО). В этом случае приповерхностной области образцов *p*-типа возникает инверсный слой с проводимостью *n*-типа. Поэтому проводимость образца с АО остается достаточно высокой во всем температурном диапазоне. При расчете времен жизни носителей предполагалось, что в диапазоне температур, соответствующих несобственной проводимости ( $T \leq 120-150 \text{ K}$ ), и для концентраций дырок  $p \geq 2 \cdot 10^{15} \text{ см}^{-3}$  выполняется условие

$$n\mu_n \ll p\mu_p$$

$$n\tau_p \ll p\tau_n.$$

В этих условиях эффективная диффузионная длина может быть записана в виде

$$L = \left( \frac{kT}{e} \mu_n \tau_n \right)^{1/2}.$$

Здесь  $\mu_n$ ,  $\tau_n$ ,  $\mu_p$ ,  $\tau_p$  — подвижности и времена жизни для электронов и дырок соответственно.

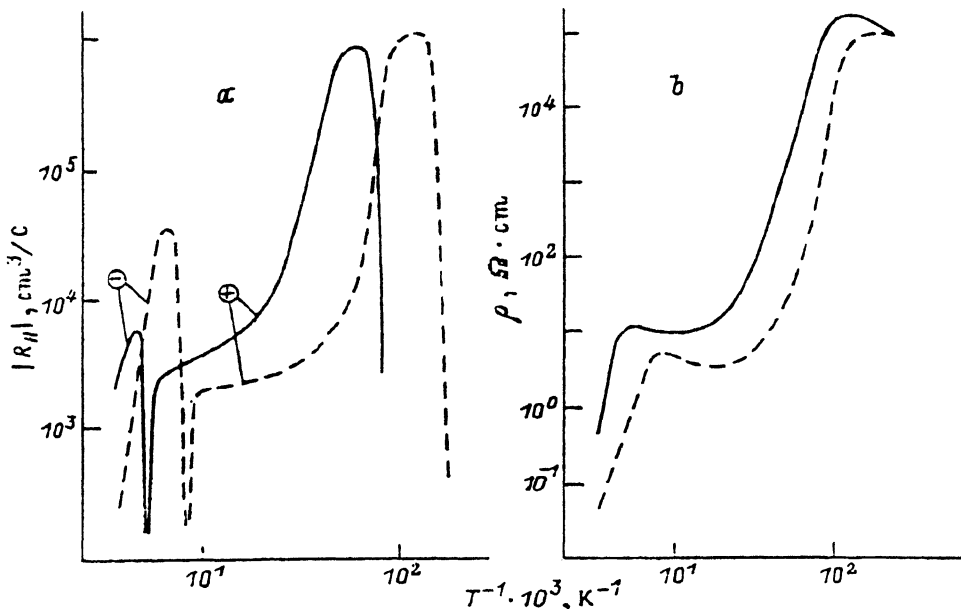


Рис. 1. Температурные зависимости коэффициента Холла (а) и удельного электрического сопротивления (б) для образцов  $p\text{-Cd}_x\text{Hg}_{1-x}\text{Te}$ . Образец 1 — сплошные линии:  $x = 0.30$ ,  $p = 1.71 \cdot 10^{15} \text{ см}^{-3}$ ; образец 2 — штриховые линии:  $x = 0.20$ ,  $p = 3.29 \cdot 10^{15} \text{ см}^{-3}$ .

### Экспериментальные результаты и их обсуждение

На рис. 1 приведены температурные зависимости коэффициента Холла (а) и удельного электрического сопротивления  $\rho$  (б) исследуемых образцов  $\text{Cd}_x\text{Hg}_{1-x}\text{Te}$  с составом  $x = 0.20$  и  $x = 0.30$ . Следует подчеркнуть, что рост удельного сопротивления с понижением температуры оказывается столь сильным, что при  $T < 10$  К на большинстве образцов не удается надежно измерить коэффициент Холла. В области же температур  $T \geq 15$ — $20$  К зависимости  $\lg R_H(1/T)$  и  $\lg \rho(1/T)$  для таких образцов имеют линейный участок с практически одинаковым для одного и того же образца наклоном, что определяется глубиной залегания акцепторного уровня  $\varepsilon_A$ .

Рис. 2 иллюстрирует полевые зависимости  $I_{PME}$  при разных значениях температуры. По изменению наклона зависимости  $I_{PME}(H)$  определялась подвижность неосновных носителей тока — электронов в  $p$ -КРТ, а также оценивалась скорость поверхностной рекомбинации  $s$ . Как видно из рисунка, условие сильного поля для электронов  $\left(\frac{\mu_e H}{c} \gg 1\right)$ , о чем свидетельствует насыщение полевой характеристики  $I_{PME}$ , удается достигать для  $x = 0.30$  вплоть до температур  $T \approx 200$  К. Это дает возможность получить из ФМЭ температурную зависимость  $\mu_e$  в КРТ  $p$ -типа в широком диапазоне температур (4.2—200 К) — рис. 3, что, насколько нам известно, делается впервые. На рис. 3 приведены и температурные зависимости подвижности основных носителей тока, полученные из холловских измерений. Обращает на себя внимание отчетливый максимум в зависимости  $\mu_p(T)$  в области температур 30—40 К, характерный для компенсированных полупроводников. Значения  $\mu_p$  в максимуме находятся для разных образцов в пределах  $(0.55\text{--}1.7) \cdot 10^3 \text{ см}^2/\text{В} \cdot \text{с}$ .

Температурные зависимости времени жизни носителей, определенные из ФП и ФМЭ для двух образцов, приведены на рис. 4.

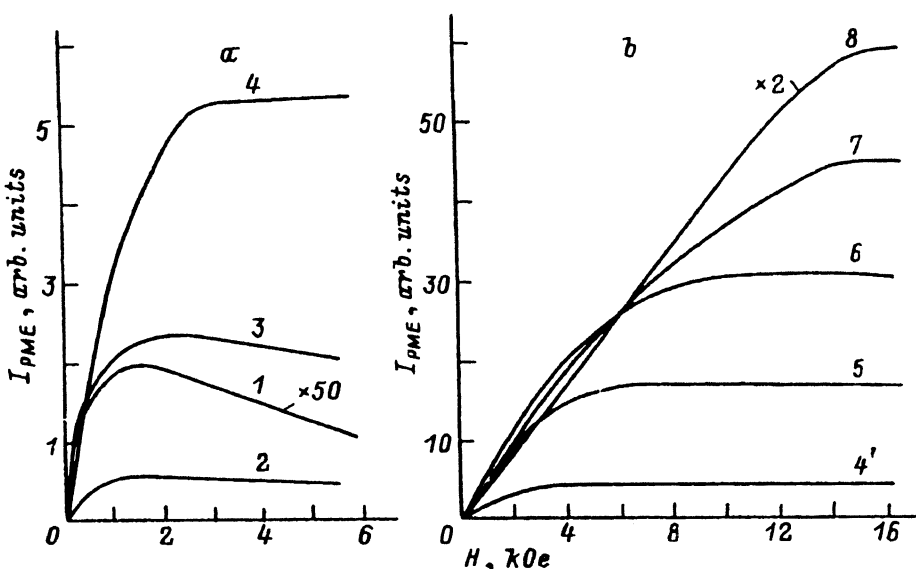


Рис. 2. Полевые зависимости фотомагнитного тока для образца 1 (см. рис. 1) при разных значениях температуры, К: 1 – 10, 2 – 20, 3 – 40, 4 – 80, 4' – 83, 5 – 120, 6 – 160, 7 – 200, 8 – 250.

При выполнении приведенных выше условий для  $n$ ,  $p$ ,  $\tau_n$  и  $\tau_p$  в исследуемом диапазоне температур можно считать, что  $\tau_{PC} \sim \tau_p$ , а  $\tau_{PME} \sim \tau_n$ . Лишь в области достаточно высоких температур, которая, как видно из зависимостей  $R_H(1/T)$ , соответствует собственной проводимости, для состава  $x = 0.20$  преобладает межзонная ударная рекомбинация, а для состава  $x = 0.30$  – межзонная излучательная рекомбинация. При этом  $\tau_{PME} \approx \tau_{PC}$ . При понижении температуры доминирующим оказывается механизм Шокли-Рида – через локальные центры. На некоторых образцах указанный механизм оказывается основным и в области собственной проводимости. Определяемая из наклонов кривых  $\tau(1/T)$  глубина залегания рекомбинационного уровня изменяется от образца к образцу и находится в пределах 12–15 мэВ и 30–40 мэВ для состава  $x = 0.20$  и 40–60 мэВ для  $x = 0.30$ .

Наибольший интерес представляет область низких температур, в которой происходит вымораживание свободных дырок на акцепторный уровень. Величина  $\epsilon_A$ , определяемая по наклону  $R_H(1/T)$ , зависит от концентрации свободных дырок и у исследованных образцов находится в пределах  $\epsilon_A = 3–8$  мэВ. В этой области температур наряду с крутым спадом  $\tau_{PME}$  наблюдается заметный рост  $\tau_{PC}$ . Такое различие в температурных зависимостях  $\tau_{PC}$  и  $\tau_{PME}$  характерно для процессов захвата неосновных носителей тока на уровне

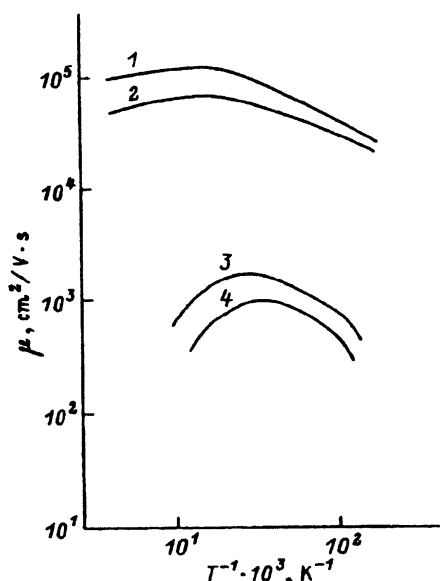


Рис. 3. Температурные зависимости подвижности электронов (кривые 1, 2) и дырок (кривые 3, 4) для образца 1 (2, 4) и 2 (1, 3). Образцы те же, что и на рис. 1.

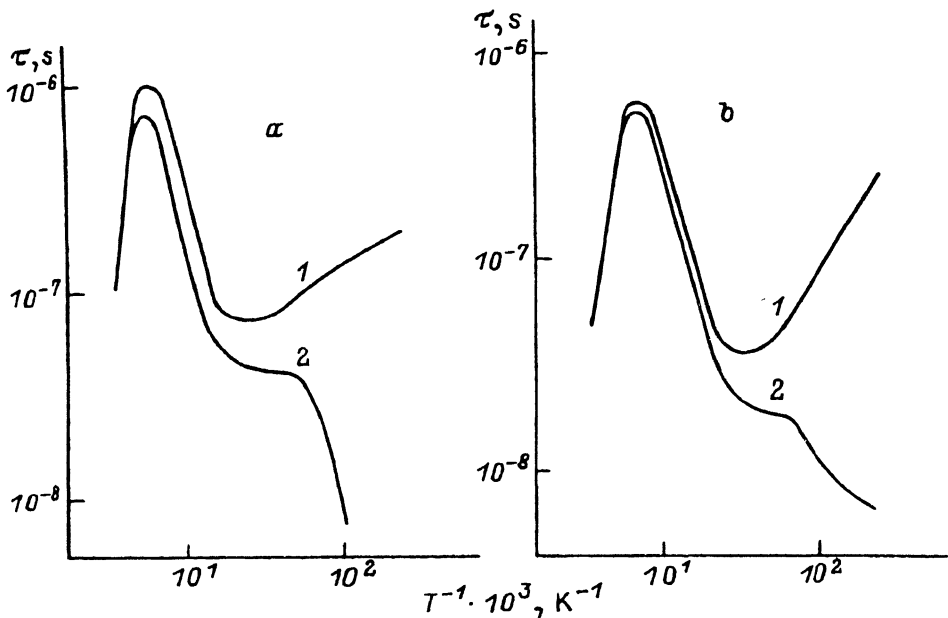


Рис. 4. Температурные зависимости времени жизни  $\tau$ , определенные из ФП (1) и ФМЭ (2) для образца 1 (а) 2 (б). Образцы те же.

прилипания [8]. Отметим, что рост  $\tau_{PC}$  в этой области температур в нашем случае не связан с уменьшением темпа излучательной рекомбинации, что наблюдалось в наиболее очищенных кристаллах  $p\text{-Cd}_x\text{Hg}_{1-x}\text{Te}$  [4]. Это вытекает из противоположных зависимостей  $\tau_{PC}(T)$  и  $\tau_{PMC}(T)$  в области низких температур.

Другая особенность низкотемпературного диапазона фотоэлектрических явлений в  $p$ -КРТ состоит в исчезновении характерного длинноволнового максимума в спектральной характеристике (СХ) фотопроводимости и в неадекватности данных о параметрах поверхностной рекомбинации, получаемых из анализа СХ ФП и полевых зависимостей  $I_{PME}$ . В самом деле, характер полевых зависимостей ФМЭ (рис. 2, а, кривые 1—4) свидетельствует о том, что безразмерная скорость поверхностной рекомбинации  $S = sL/D$  ( $D$  — коэффициент биполярной диффузии носителей тока) растет с понижением температуры, причем в области 4,2—40 К достигает относительно больших значений. В то же время из анализа характеристик ФП (рис. 5), где величина  $s$  определяется соотношением  $I_{PC}(0)/I_{PC}(\infty) = 1 + s$ , где  $I_{PC}(0)$  и  $I_{PC}(\infty)$  — величины сигналов в максимуме СХ ФП ( $\alpha L \ll 1$ ,  $\alpha$  — коэффициент поглощения) и в области насыщения на СХ ФП ( $\alpha L \gg 1$ ) соответственно, следует, что безразмерная скорость поверхностной рекомбинации падает с понижением температуры, стремясь в пределе к нулю.

Особенности ФП при низких температурах, состоящие прежде всего в исчезновении максимума на СХ в области вымораживания дырок можно объяснить без привлечения поверхностного канала рекомбинации. Для этого, очевидно, достаточно установить при каких условиях время жизни основных носителей тока в приповерхностной области будет по крайней мере не меньше времени жизни в объеме кристалла. При низких температурах, когда уровень Ферми находится у вершины валентной зоны, избыточные электроны быстро захватываются рекомбинационными центрами, так что скорость рекомбинации  $v$  в этом случае ограничена более медленным процессом — захватом дырок на центры рекомбинации:  $v = r_v p \Delta n_i$ , где  $r_v$  — сечение захвата дырок, а  $p$  и  $\Delta n_i$  — соответ-

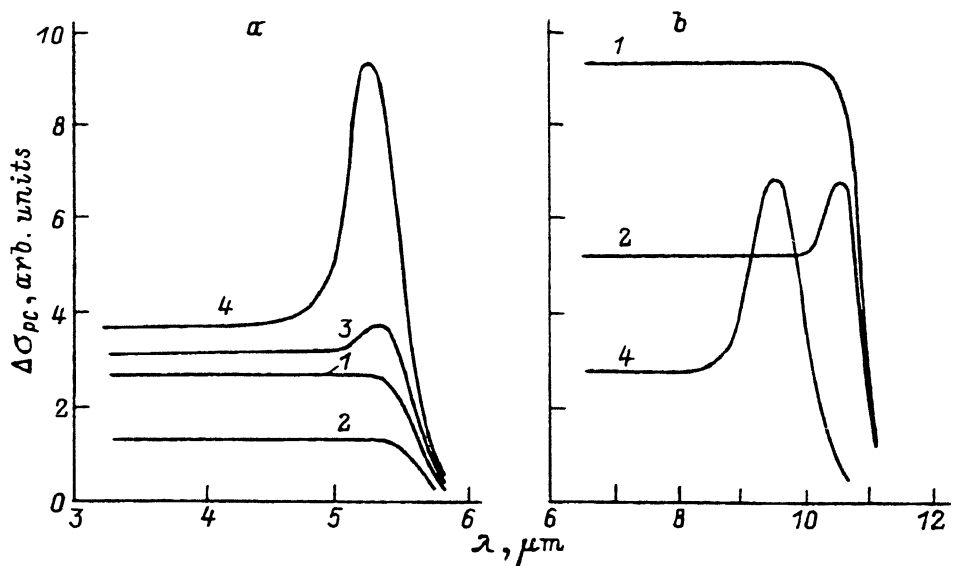


Рис. 5. Спектральные характеристики ФП для образцов 1 (а) и 2 (б) при разных значениях температуры, К: 1 — 4,2, 2 — 20, 3 — 40, 4 — 80. Образцы те же.

ственno концентрации свободных дырок и электронов, захваченных рекомбинационными центрами. В этих условиях время жизни основных носителей (дырок) определяется выражением [8]

$$\tau_p = \frac{\Delta p}{\nu} = \frac{1 \Delta p}{r_v p \Delta n_t}, \quad (1)$$

где  $\Delta p$  — концентрация фотодырок.

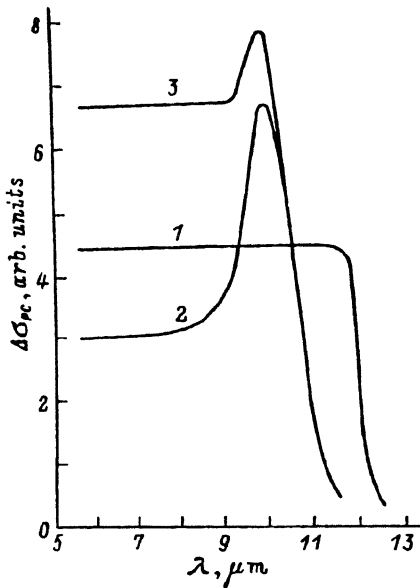
В отсутствие вымораживания основных носителей  $\Delta p \approx \Delta n_t$  и время жизни дырок, согласно (1), обратно пропорционально их концентрации ( $\tau_p \sim p^{-1}$ ). В области вымораживания дырок на акцепторный уровень при генерации избыточных носителей число связанных на акцепторных уровнях дырок возрастает, поскольку свободные и связанные дырки при данной температуре находятся в статистическом равновесии. При увеличении числа связанных дырок на величину  $\Delta p_A$  из условия квазинейтральности следует, что  $\Delta n_t = \Delta p + \Delta p_A$ , и поэтому

$$\tau_p = \frac{1 \Delta p}{r_v p \Delta p + \Delta p_A}. \quad (2)$$

Таким образом, при прочих равных условиях в результате захвата дырок время жизни  $\tau_p$  уменьшается на фактор  $\Delta p / (\Delta p + \Delta p_A)$ . Этот вывод согласуется с экспериментальными данными: рост коэффициента Холла и удельного электрического сопротивления исследованных кристаллов с понижением температуры в области вымораживания (рис. 1) значительно сильнее роста  $\tau_p$  (рис. 4).

С целью выяснения условий уменьшения и последующего полного исчезновения пиков на СХ ФП (которые, как уже отмечалось, определяются более высоким значением  $\tau_p$  в приповерхностной области) с понижением температуры будет исходить из предположения, что из-за большой плотности поверхностных состояний уровень Ферми на поверхности фиксирован относительно энергетических зон. Тогда при понижении температуры и соответствующем опускании уровня Ферми в объеме образца захват избыточных дырок вблизи поверхности будет сильнее, поскольку уровень акцептора относительно уровня Ферми в

Рис. 6. Спектральные характеристики ФП для образца  $p\text{-Cd}_{0.195}\text{Hg}_{0.805}\text{Te}$  ( $p = 8 \cdot 10^{15} \text{ см}^{-3}$ ) с анодным окислением (1, 2) и без АО (3) при температурах, К: 1 — 4.2, 2, 3 — 80.



приповерхностной области находится ниже, нежели в объеме. Это ведет к уменьшению  $\tau_p$  у поверхности. Однако, с другой стороны, фиксированное положение уровня Ферми на поверхности приводит к уменьшению плотности дырок  $p$  в приповерхностной области и, согласно (2), к росту  $\tau_p$ . Дифференцирование  $\tau_p$  относительно энергии Ферми [8] позволяет определить условие, при котором время жизни дырок в приповерхностной области будет пре- восходить  $\tau_p$  в объеме

$$\frac{2p_A}{N_A} < 1 + \frac{2\Delta p}{\Delta p_A}. \quad (3)$$

Поскольку  $p_A = N_A - N_d - p$ , то очевидно, что в случае компенсированных кристаллов (а

именно такими являются исследованные образцы) условие (3) легко достижимо. Также весьма достоверным представляется и исходное предположение о том, что уровень Ферми на поверхности полупроводника фиксирован в запрещенной зоне на достаточно большом энергетическом расстоянии от потолка валентной зоны, поскольку такое предположение по своей сути эквивалентно надежно установленному факту для образцов,  $p$ -КРТ — наличие истощающего изгиба зон у поверхности при образовании окисла (см., например, [9]).

Наличие сильного истощающего изгиба зон у освещаемых поверхностей  $p$ -КРТ позволяет существенно расширить и углубить представления о природе особенностей фотоэлектрических явлений в этом полупроводнике при низких температурах. Действительно, в этом случае направленный к поверхности дрейф неосновных носителей в поле приповерхностного изгиба зон приводит к резкому росту эффективной скорости приповерхностной рекомбинации, значение которой в первом приближении может быть представлено в виде [10]:  $s^* = s e^{\varphi/kT}$ , где  $s$  — истинное значение скорости приповерхностной рекомбинации,  $\varphi$  — электростатический потенциал на поверхности, характеризующий величину изгиба зон. Такой характер зависимости  $s^*$  качественно подтверждается результатами исследования полевых характеристик ФМЭ: с понижением температуры на зависимостях  $I_{PME}(H)$  появляется все более отчетливый максимум, что свидетельствует о росте  $s^*$ . С другой стороны, в поле истощающего изгиба зон возникает и другой эффект — пространственное разделение неравновесных носителей, приводящий к росту  $\tau_p$  в приповерхностной области, что позволяет в итоге независимо объяснить особенности СХ ФП при низких температурах. Разделение неравновесных носителей особенно эффективно на  $n-p$ -переходе, т. е. в случае инверсионного изгиба зон, который возникает в  $p$ -КРТ при анодном окислении его поверхностей. Спектральные зависимости, приведенные на рис. 6, показывают, что окисление поверхности приводит к существенному увеличению  $s^*$  при 80 К (рис. 6, кривые 2, 3). Однако с понижением температуры пик на СХ ФП падает и в конечном итоге полностью исчезает (рис. 6, кривая 1). Этот факт, по нашему мнению, свидетельствует о доминирующем вкладе в особенности СХ ФП механизма, связанного с пространственным разделением fotoносителей в приповерхностной области кристаллов  $p\text{-Cd}_x\text{Hg}_{1-x}\text{Te}$  в случае инверсионного изгиба зон.

## СПИСОК ЛИТЕРАТУРЫ

- [1] А. В. Войцеховский, А. П. Коханенко, Ю. В. Лиленко, А. С. Петров. ФТП, 15, 676 (1981).
- [2] А. В. Войцеховский, Ю. В. Лиленко. ФТП, 15, 1457 (1981).
- [3] D. L. Polla, C. E. Jones. J. Appl. Phys., 52, 5118 (1981).
- [4] Н. Л. Баженов, В. И. Иванов-Омский, Н. И. Константинова, В. К. Огородников. ФТП, 16, 2202 (1982).
- [5] S. T. Schechman, E. Finkman. J. Appl. Phys., 57, 2001 (1985).
- [6] R. Faston, Y. Nemirovsky. J. Vac. Sci. Technol. A, 8, 1245 (1990).
- [7] R. Fastow, D. Goren, Y. Nemirovsky. J. Appl. Phys., 68, 3405 (1990).
- [8] R. A. Laff, H. Y. Fan. Ptys. Rev., 121, 53 (1961).
- [9] R. B. Schoolar, B. K. Janousek, R. M. Alt, R. C. Carcallen, H. I. Daugherty, A. A. Fote. J. Vac. Sci. and Technol., 21, 164 (1982).
- [10] Г. Л. Бир. ФТТ, 1, 67 (1959).

Редактор В. В. Чалдышев

---